

PLANCHES  
MICROPHOTOGRAPHIQUES

PLANCHE I

## EXPLICATION DES MICROPHOTOGRAPHIES.

---

PHOTO 35. — Liquidus du Mihaga englobant les phénocristaux xénoclastiques de bytownite, de magnétite titanifère et d'augite titanifère. On remarquera la formation de germes de minéraux indéterminables aux dépens du liquidus.

PHOTO 36. — Apparition des halos noirs à la périphérie des phénocristaux xénoclastiques et des taches noires dans le verre.

---

1<sup>er</sup> Stade.

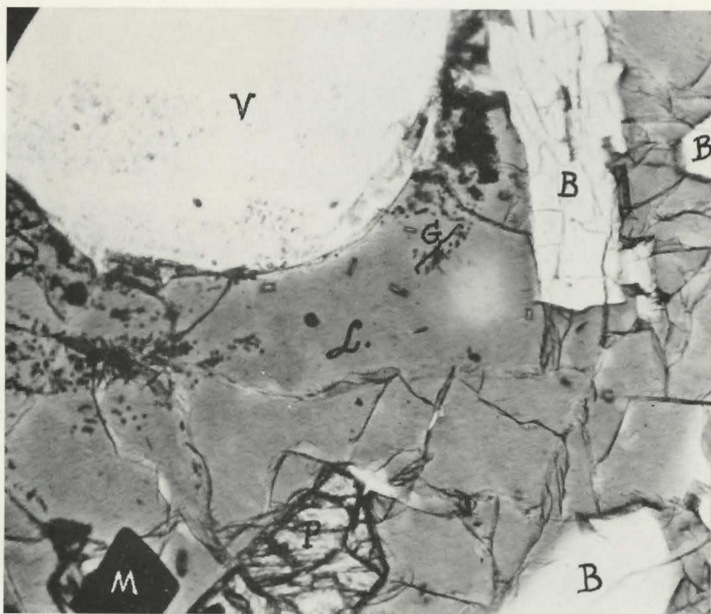


PHOTO 35. — Lame E 18. Gross. : 240×.

V : vacuole; B : bytownite; P : augite; L : verre (liquidus);  
G : germes indéterminables; M : magnétite titanifère.

2<sup>e</sup> Stade.



PHOTO 36. — Lame E 155. Gross. : 240×.

B : bytownite; H : halo noir; T : tache noire.  
Cristallites de labrador, d'augite titanifère et d'hypersthène (?).

PLANCHE II

## EXPLICATION DES MICROPHOTOGRAPHIES.

---

PHOTO 37. — Halos noirs à la périphérie de phénocristaux xénoclastiques de bytownite et des innombrables germes et cristallites indéterminables.

PHOTO 38. — Précipitation massive des microlites de labrador avec les halos noirs périphériques.

---

2<sup>e</sup> Stade.

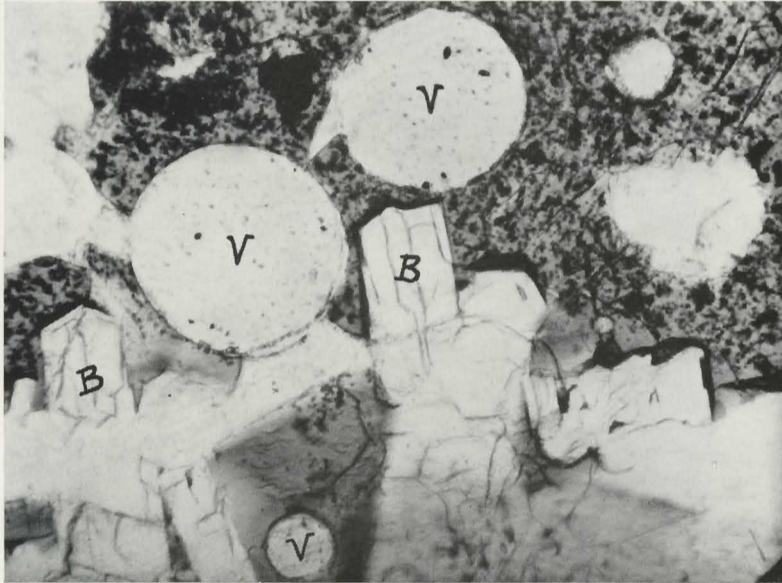


PHOTO 37. — Lame E 155. Gross. : 100×.  
V : vacuoles; B : bytownite; Points noirs : germes.

2<sup>e</sup> Stade.

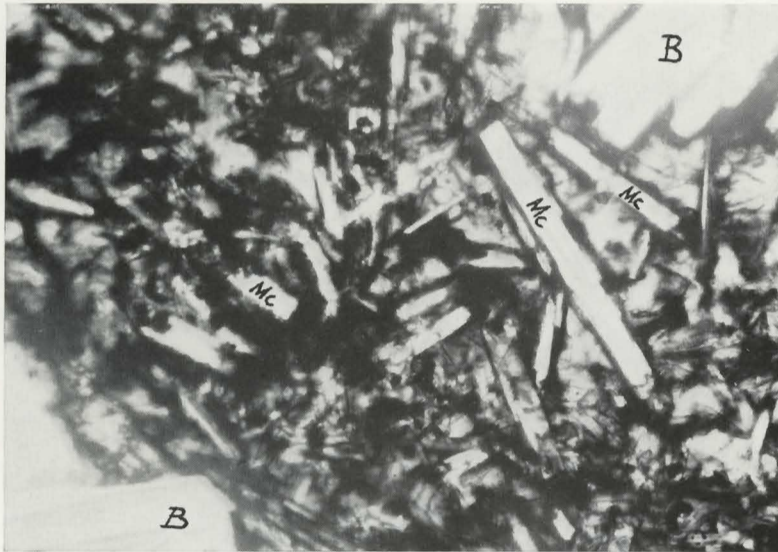


PHOTO 38. — Lame E 91. Gross. : 100×.  
B : bytownite; Mc : microlites de labrador.

PLANCHE III



## EXPLICATION DES MICROPHOTOGRAPHIES.

---

PHOTO 39. — Précipitation massive des microlites de labrador et d'augite titanifère avec les halos noirs périphériques.

PHOTO 40. — Début de cristallisation de la magnétite titanifère aux dépens des halos noirs périphériques.

---

2<sup>e</sup> Stade.



PHOTO 39. — Lame E 91. Gross. : 100×.

2<sup>e</sup> Stade.

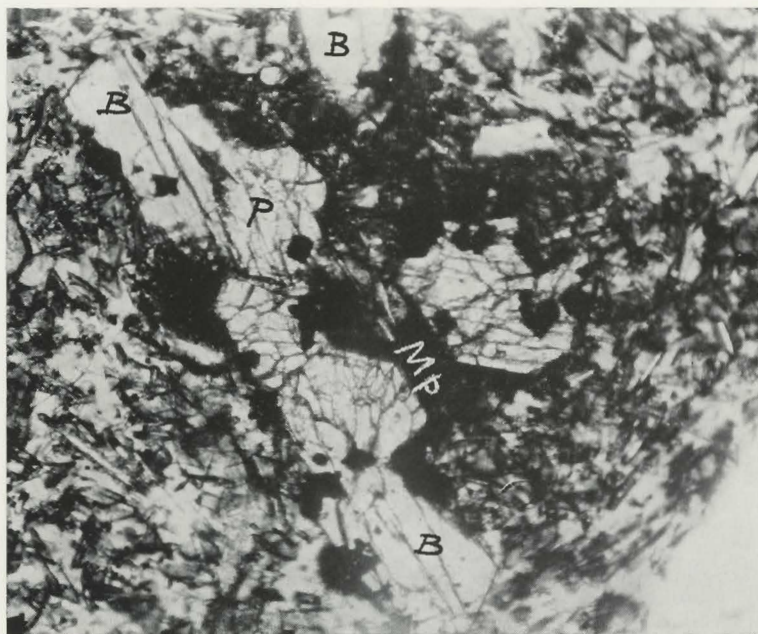


PHOTO 40. — Lame E 155. Gross. : 100×.

B : bytownite; P : augite titanifère; Mp : magnétite titanifère  
périphérique.

PLANCHE IV

## EXPLICATION DES MICROPHOTOGRAPHIES.

---

PHOTO 41. — Cristallisation périphérique de la titanomagnétite aux dépens des halos noirs. Apparition de dendrites de titanomagnétite de premier ordre aux dépens des taches noires.

PHOTO 42. — Cristallisation périphérique de la titanomagnétite aux dépens des halos noirs.

---

3<sup>e</sup> Stade.



PHOTO 41. — Lame E 112. Gross. : 250×.

P : pyroxène; Mc : microlite de labrador; Mp : titanomagnétite périphérique.

3<sup>e</sup> Stade.



PHOTO 42. — Lame E 112. Gross. : 120×.

P : microlite d'augite titanifère; Mc : microlite de labrador.

PLANCHE V

## EXPLICATION DES MICROPHOTOGRAPHIES.

---

PHOTO 43. — Précipitation massive de fins octaèdres de titanomagnétite aux dépens des taches noires.

Au centre de la photo, augite titanifère et sa bordure de titanomagnétite (cristallisation périphérique).

PHOTO 44. — Trois générations de titanomagnétite :

1° A droite en haut : titanomagnétite intratellurique;

2° A gauche en bas : titanomagnétite périphérique et pyroxène xéno-clastique;

3° Semis d'octaèdres fins de titanomagnétite.

---

4<sup>e</sup> Stade.

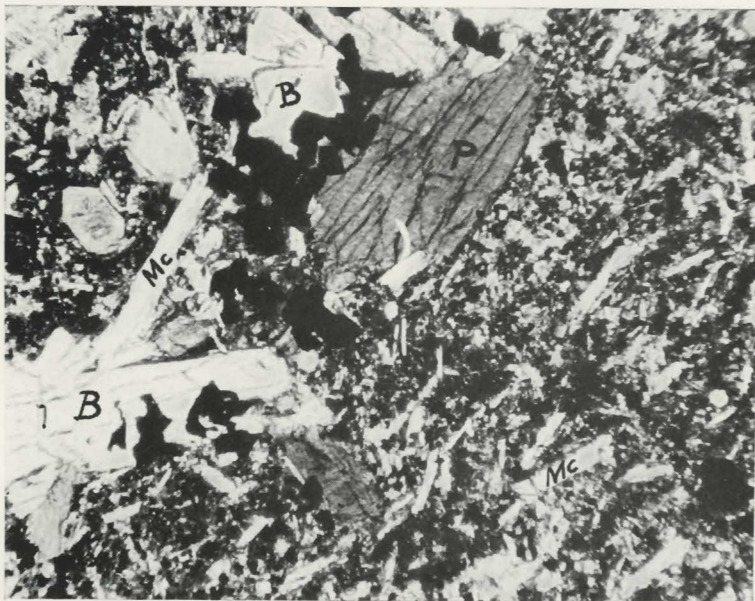


PHOTO 43. — Lame E 130. Gross. : 100×. (Nicols croisés.)  
B : bytownite; Mc : microlites de labrador; P : augite titanifère;  
Points noirs : octaèdres de titanomagnétite.

4<sup>e</sup> Stade.

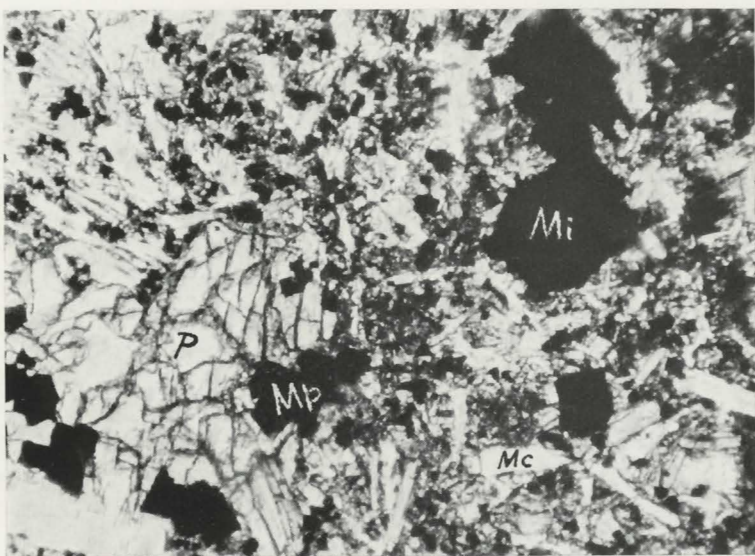


PHOTO 44. — Lame E 166. Gross. : 100×.  
P : augite titanifère; Mi : titanomagnétite intratellurique;  
Mp : magnétite périphérique; semis d'octaèdres de titanomagnétite.



PLANCHE VI

## EXPLICATION DES MICROPHOTOGRAPHIES.

---

PHOTO 45. — Précipitation massive des dendrites de titanomagnétite.

PHOTO 46. — Apparition des phénoblastes de leucite avec de nombreuses inclusions de microlites de labrador, d'augite titanifère, de pyroxène vert, d'octaèdres fins de titanomagnétite et de dendrites.

---

4<sup>e</sup> Stade.

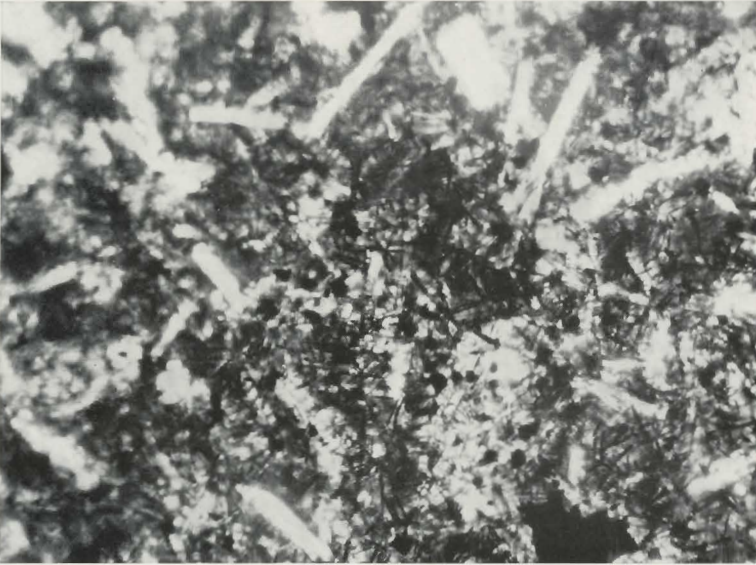


PHOTO 45. — Lame E 31. Gross. : 240×.

5<sup>e</sup> Stade.



PHOTO 46. — Lame E 65. Gross. : 100×.

Au centre de la photo : phénoblaste de leucite.  
Grains grisâtres : augite titanifère; longs prismes à relief fort :  
pyroxène vert; grains noirs : octaèdres de titanomagnétite;  
Mc : microlites de labrador.

PLANCHE VII

## EXPLICATION DES MICROPHOTOGRAPHIES.

---

PHOTO 47. — Lave holocristalline.

Les belles gerbes de pyroxène fibreux remplacent complètement le verre résiduel.

PHOTO 48. — Lave holocristalline.

Les taches noires sont des octaèdres de titanomagnétite.

---

6° Stade.

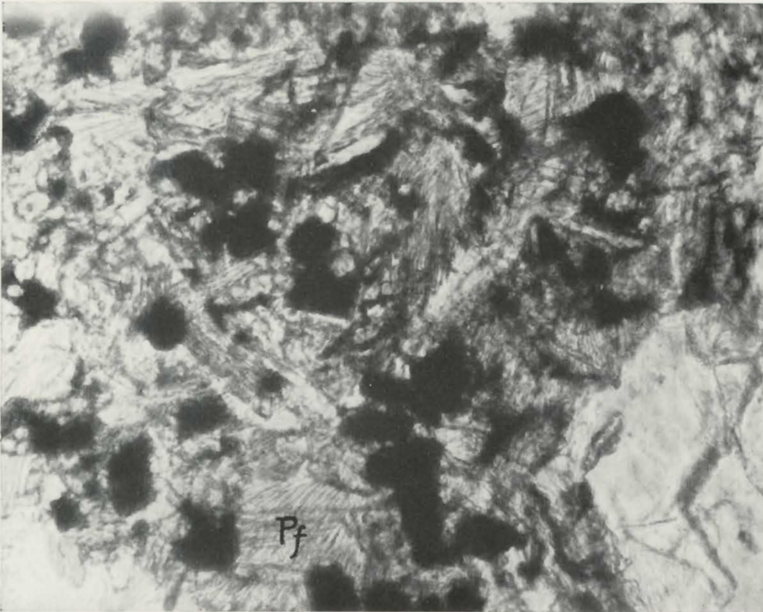


PHOTO 47. — Lame E 166. Gross. : 485×. (Nicols croisés.)  
Pf : pyroxène fibreux.

6° Stade.



PHOTO 48. — Lame E 165. Gross. : 485×. (Nicols croisés.)  
O : olivine; Mc : microlites de labrador.

PLANCHE VIII

## EXPLICATION DES MICROPHOTOGRAPHIES.

---

PHOTO 49. — Métamorphisme thermique des laves sous l'action directe des flammes volcaniques (ipnisme).

Au milieu de la photo : dendrite de titanomagnétite qui sert de support à d'innombrables aiguilles d'un pyroxène fibreux formées aux dépens du verre.

On remarquera le semis d'octaèdres microscopiques de titanomagnétite.

PHOTO 50. — Métamorphisme thermique des laves.

Gerbe de pyroxène fibreux formée aux dépens du verre.

Semis d'octaèdres microscopiques de titanomagnétite.

---



**Ipnisme.**

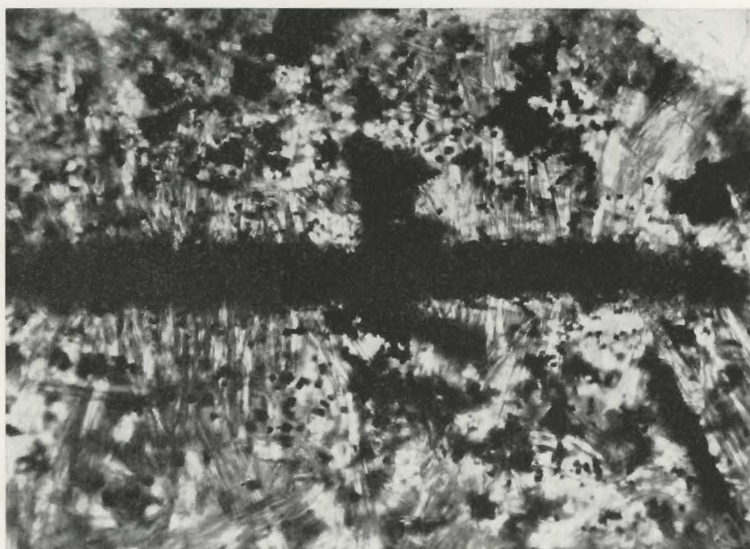


PHOTO 49. — Lame E 45. Gross. : 485×. (Nicols croisés.)

**Ipnisme.**

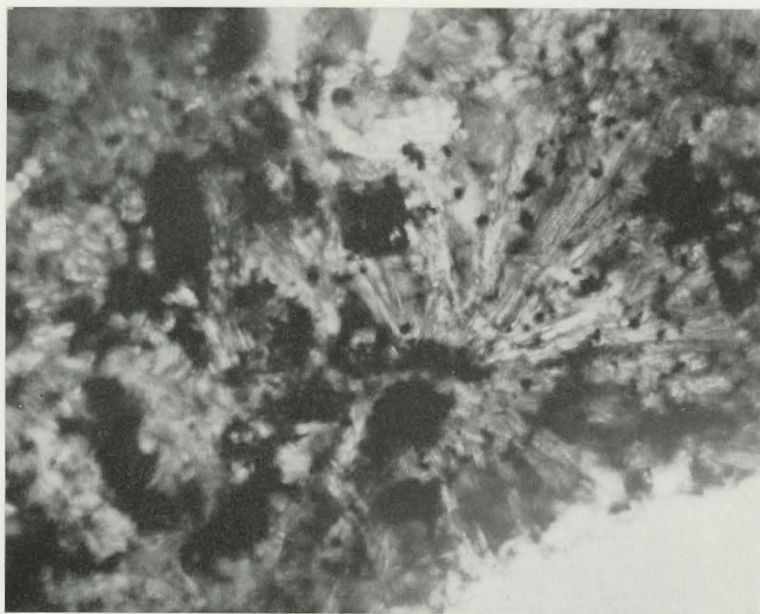


PHOTO 50. — Lame E 45. Gross. : 485×. (Nicols croisés.)